

IMPACT STRUKTURA U SERVO POGONIMA VISOKIH PERFORMANSI - POTISKIVANJE TORZIONIH OSCILACIJA

Milan S. Matijević, Mađarski fakultet u Kragujevcu
Milić R. Stojić, Slobodan N. Vuksović, Elektrotehnički fakultet u Beogradu

Sadržaj – U radu je opisana IMPACT struktura (*Internal Model Principle and Control Together*) u specijalnom slučaju primene – u sistemu digitalnog upravljanja brzinskim servomehanizmom sa asinhronim motorom u ulozi izvrednog organa i elastično spregnutim opterećenjem. Elastično spregnute mase: motor – opterećenje dovode do moguće pojave mehaničke rezonancije, što dalje uzrokuje pojavu prisudnih torzionih oscilacija u sistemu. Predložen je novi koncept IMPACT strukture u cilju potiskivanja torzionih oscilacija u sistemu. Pokazuje se da se primenom novog rešenja mogu ostvariti bolje performanse sistema nego do sada. Predložena struktura je jednostavna i ima mali broj podežljivih parametara, kojima se jasno i jednostavno može uticati na robustne, filterske i dinamičke performanse sistema.

1. UVOD

U mnogim aplikacijama kod savremenih alatnih mačina, koje treba da obezbede visok kvalitet proizvoda i visoku produktivnost proizvodnih linija, zahtevaju se visoke dinamičke performanse brzinskih i pozicionih servomehanizama sa različitim motorima u ulozi izvrednog organa. Slični zahtevi se sreduju i u drugim savremenim mađarskim sistemima, kao što su uređaji za proizvodnju mikro-elektronskih sklopova, robotski manipulatori, automatizovane mačine za kontrolu kvaliteta, sistemi za memorisanje podataka, itd. Teži se da se postigne nominalna greška prerađenja na nivou rezolucije senzora, kako u stacionarnom stanju, tako i u prelaznom režimu. Pri tome, dobre robustne performanse projektovanog servosistema sa zatvorenom povratnom spregom se podrazumevaju. Otuda se primena Tsyplkinove IMPACT strukture [1-5] u sintezi digitalnog upravljanog elektromotornog pogona nameće kao logično rešenje [1,2,5].

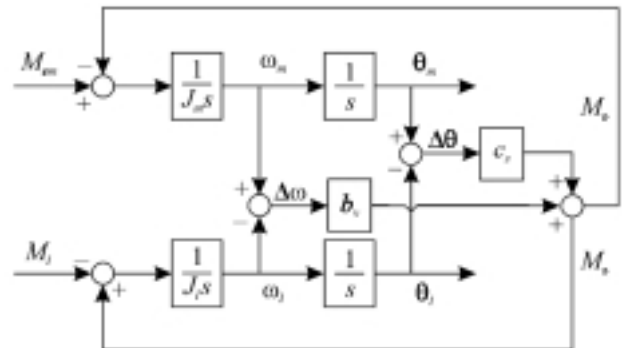
Međutim, servomotori su u tipičnom industrijskom okruženju povezani sa njihovim aktuatorima prenosnim mehanizmom koji ima konstantnu krutost [6,7]. Elastično spregnute mase: motor - opterećenje, uvode konstantan broj nula i par konjugovano kompleksnih polova u funkciju prenosa objekta i na taj način dovode do moguće pojave mehaničke rezonancije. Ovaj problem je više izražen u servosistemima u kojima je senzor pozicije na opterećenom vratilu [6,7]. Tada je sistem sa zatvorenom povratnom spregom uključiti nemodelirane modove torzionalne rezonance [6]. Isti problem se pojavljuje i u slučaju kada se senzor povratne sprege nalazi na osovini motora. Ovaj fenomen ograničava performanse sistema i predstavlja razlog pojave slabo prigušenih oscilacija u odzivu sistema usled pobude od strane referentnog ulaza ili opterećenja [6,7]. Često ignorisani u projektovanju konvencionalnih servosistema, rezonantni modovi mogu da se preklope sa propustnim opsegom i da prouzrokuju prisudne oscilacije mačine i sa njom spregnutih delova [7]. Ovakva pojava je pronađena bukom, ali i mogućim oteženjima zglobova, delova mačine (usled zamora metala i sl. [7]), mogućim habanjem i lomovima alata, kao i eventualnim posledicama po kvalitet obrade radnih predmeta. Dobar

pregled dosadašnjih napora u rešavanju ovog problema je dat u [6], dok je u [6,7] predložen novi metod projektovanja antirezonantnog kompenzatora, koji je efikasnost potvrđena u slučaju sinteze brzinskog servomehanizma rezultatima simulacije i eksperimentalnim rezultatima.

Korištenje izvorne IMPACT strukture i njenih modifikovanih rešenja [1,2,5] obezbeđuje željeni karakter ponašanja, nastalo rada u stacionarnom stanju, veliku brzinu reagovanja (čirok propustni opseg) servopogona sa zatvorenom povratnom spregom, zatim, mali uticaj spojnih poremećaja i mernoguma na upravljanu promenljivu (uganonu brzinu ili poziciju), kao i malu osetljivost pokazatela kvaliteta ponašanja na promene parametara unutar objekta upravljanja [5]. U ovom radu, predložena je sinteza IMPACT strukture brzinskog servomehanizma sa asinhronim motorom u ulozi izvrednog organa i polinomnim prediktivnim filtrom umesto klasičnog polinoma predviđanja. Simulacijom su ilustrovane mogućnosti strukture pri potiskivanju torzionih oscilacija koje nastaju u slučaju pojave mehaničke rezonancije [6]. Pokazano je da se primenom predloženog rešenja mogu ostvariti bolje performanse sistema nego do sada.

2. SERVO SISTEM SA ELASTIČNOM SPREGOM

Model objekta upravljanja (asinhronog motora sa opterećenjem), koji obuhvata fleksibilno sprezanje motora i opterećenja, je prikazan na Sl. 1 [6].



Sl. 1. Fleksibilno sprezanje osovine motora i opterećenja

Pokretački moment M_{em} je upravljačka promenljiva, dok moment na opterećenom vratilu M_j predstavlja poremećaj. Moment inercije motora J_m i moment inercije opterećenja J_s su spregnuti prenosnim mehanizmom (osovinom, reduktorom, zupčastim kaičem, itd.) koji ima koeficijent krutosti c_s . Elastično sprezanje uđivostručuje broj promenljivih stanja unutar elektromotornog pogona [6]. U opštem slučaju, ugaona brzina ω_m i pozicija θ_m osovine motora se razlikuju, respektivno, od ugaone brzine ω_j i pozicije θ_j na opterećenom vratilu, tj. na strani opterećenja. Koeficijent viskoznog trenja b_v uglavnom ima veoma male vrednosti, što svakako pospešuje pojavu slabo prigušenih torzionih oscilacija [6]. Torzioni moment M_o je jednak momentu opterećenja M_j samo u stacionarnom

stanju, dok je za vreme prelaznog procesa, kada se brzine motora i optere}enja razlikuju, dat relacijom [6,7]

$$M_o = c_s \Delta \theta + b_v \Delta \omega \quad (1)$$

Dakle, uobi~jeni pristup sinteze brzinskog servomehanizma polaze od jednostavnog modela objekta, koji je dat funkcijom prenosa $1/J_s$. Me|utim, uzimanjem u obzir elasti-nog sprezanja motora i optere}enja, ta{niji model objekta upravljanja je dat funkcijom prenosa

$$\begin{aligned} W_m(s) &= \frac{\omega_m(s)}{M_{em}(s)} = \frac{1}{(J_m + J_l)s} \frac{1 + \frac{b_v}{c_s}s + \frac{J_l}{c_s}s^2}{1 + \frac{b_v}{c_s}s + \frac{J_l J_m}{c_s(J_m + J_l)}s^2} \\ &= \frac{1}{(J_m + J_l)s} \frac{1 + \frac{2\zeta_z}{\omega_z}s + \frac{1}{\omega_z^2}s^2}{1 + \frac{2\zeta_p}{\omega_p}s + \frac{1}{\omega_p^2}s^2} \end{aligned} \quad (2)$$

ako je senzor postavljen na vratilu motora, odnosno

$$\begin{aligned} W_l(s) &= \frac{\omega_l(s)}{M_{em}(s)} = \frac{1}{(J_m + J_l)s} \frac{1 + \frac{b_v}{c_s}s}{1 + \frac{b_v}{c_s}s + \frac{J_l J_m}{c_s(J_m + J_l)}s^2} \\ &= \frac{1}{(J_m + J_l)s} \frac{1 + \frac{2\zeta_z}{\omega_z}s}{1 + \frac{2\zeta_p}{\omega_p}s + \frac{1}{\omega_p^2}s^2} \end{aligned} \quad (3)$$

ako je senzor postavljen na optere}enom vratilu, tj. na strani optere}enja. U prethodnim relacijama (2) i (3), neprigu{ene prirodne u-estanosti ω_p i ω_z , i koeficijenti relativnog prigu{enja ζ_p i ζ_z datti su slede}im izrazima

$$\begin{aligned} \omega_p &= \sqrt{\frac{c_s(J_m + J_l)}{J_m J_l}}, \quad \omega_z = \sqrt{\frac{c_s}{J_l}}, \\ \zeta_p &= \sqrt{\frac{b_v^2(J_m + J_l)}{4c_s J_m J_l}}, \quad \zeta_z = \sqrt{\frac{b_v^2}{4c_s J_l}} \end{aligned} \quad (4)$$

Neprigu{ene prirodne u-estanosti ω_p i ω_z su ozna~ene kao rezonantna i antirezonantna u-estanost, respektivno [6], i njihov koli~nik predstavlja rezonantni odnos

$$R_r = \frac{\omega_p}{\omega_z} = \sqrt{1 + \frac{J_l}{J_m}} \quad (5)$$

U slu~aju, kada se senzor nalazi na vratilu motora, male vrednost rezonantnog odnosa redukuju uticaj torzionog optere}enja na dinamiku brzinskog servomehanizma [6]. Velika inercija motora spre-ava prodiranje torzionih oscilacija od optere}enja ka motoru. Ipak, na ovaj na-in ($J_m >> J_l$), favorizuje se performansa ugaone brzine ω_m i pozicije θ_m motora, iako se u ve}ini aplikacija zahtevaju dobre performanse promenljivih na strani optere}enja (ω i θ). Ova problematika, u slu~aju postavljanja senzora bilo na osovini motora, bilo na strani optere}enja, je {ire analizirana u [6]. Istaknuta je tendencija da ~eljeni propustni opseg brzinskih servomehanizama kod savremenih obradnih ma{inskih centara gotovo da obuhvata i u-estanost torzionalne rezonance [6]. Zato je u [6], pored izlo`enog pregleda stanja u oblasti, posebna pa`nja posve}ena pasivnim prilazima kompenzacije rezonantnih modova u odzivu sistema. Naime, kao {to je to pokazano na Sl. 2, projektuje se kaskadni kompenzator koji

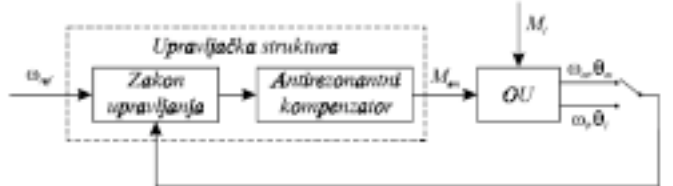
poni{tava ili usrednjava rezonantne modove, nastalih usled elasti-nih sprega unutar mehani-kog podsistema. Uobi~jeni kaskadni kompenzator (Sl. 2), koji je u upotrebi, je notch filter, za ~iju uspe}nu sintezu je potrebno znati vrednosti ω_p i ζ_p . Takva pretpostavka predstavlja veliki problem u realizaciji prakti-nih aplikacija zasnovanih na implementaciji antirezonantnog kompenzatora tipa notch filtra. Zato je u [6,7] predlo`en jednostavniji i robustniji kaskadni antirezonantni filter, sa samo jednim pode{ljivim parametrom

$$W_{NF}(z^{-1}) = \frac{1 + z^{-n}}{2}, n = \frac{T_{osc}}{2T} \quad (6)$$

gde je n odnos poluperioda oscilovanja rezonantnog moda i perioda odabiranja. Periodu oscilovanja

$$T_{osc} = \frac{2\pi}{\omega_p \sqrt{1 - \zeta_p}} \quad (7)$$

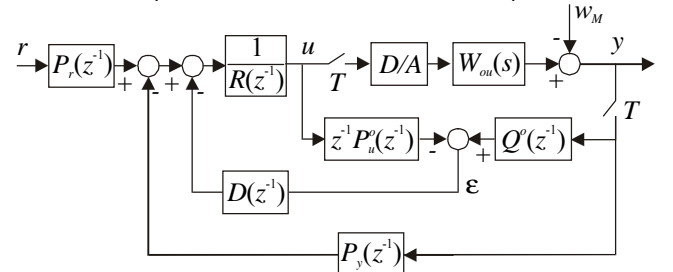
koja je prakti~no pode{ljiv parametar FIR filtra (6), je mogu}e eksperimentalno odrediti. Ideja sinteze filtra (6) je detaljno obrazlo`ena u [6].



Sl. 2. Sistem sa antirezonantnim kompenzatorom

3. IMPACT STRUKTURA

Na Sl.3 je prikazan specijalan slu~aj IMPACT strukture kada objekat upravljanja ne sadr{i transportno ka{jenje, i koji mo`e biti primjenjen u slu~aju digitalno upravljenih elektromotornih pogona [1,3]. Signal w_M modelira uticaj momenta optere}enja na izlaz sistema y - odnosno na signal ugaone brzine ili pozicije, zavisno od toga da li se radi o brzinskom ili pozicionom servomehanizmu, respektivno.



Sl. 3. IMPACT struktura digitalnog sistema upravljanja

Upravlja~ki deo strukture na Sl. 3 je dat u funkciji polinoma po kompleksnoj promenljivoj z^{-1} . Objekat upravljanja $W_{ou}(s)$ mo`e biti predstavljen svojim nominalnim diskretnim modelom

$$W^o(z^{-1}) = \frac{z^{-1-k} P_u^o(z^{-1})}{Q^o(z^{-1})}$$

koji je eksplisitno implementiran u strukturi kao nominalni dvoulazni unutra~ni model objekta upravljanja. Signal ϵ estimira uticaj generalisanog poreme}aja na upravljanu promenljivu, odnosno uticaj spolja{nog poreme}aja i neodre}jenosti nominalnog modela objekta. Nepreciznosti modeliranja mogu biti adekvatno opisane multiplikativnom granicom neodre}jenosti $\alpha(\omega)$ [4]

$$W(z^{-1}) = W^o(z^{-1})(1 + \delta W(z^{-1})) \quad (8)$$

$$|\delta W(e^{-j\omega T})| \leq \alpha(\omega), \omega \in [0, \pi/T]$$

Tada, sistem na Sl. 3 ispunjava uslov robustne stabilnosti ako je nominalni sistem stabilan i ispunjena relacija

$$\alpha(\omega) < \left| \frac{Q^o(z^{-1})R^o(z^{-1}) + z^{-1}P_u^o(z^{-1})P_y(z^{-1})}{z^{-1}P_u^o(z^{-1})(P_y(z^{-1}) + Q^o(z^{-1})D(z^{-1}))} \right|_{z^{-1}=e^{-j\omega T}}, \omega \in [0, \pi/T]$$

(to je praktično uslov radne sposobnosti sistema. Robustna performansa sistema se postiže funkcionsanjem unutrašnje konture sistema. Naime, zadatak unutrašnje konture jeste da potisne efekte generalisanog poremećaja na izlaznu promenljivu. Saglasno principu apsorpcije [3,4] projektuje se unutrašnji model poremećaja na koji se dovodi signal ε . U slučaju objekta upravljanja koji ne unosi transportno kamenje, unutrašnji model poremećaja se svodi na polinom predviđanja $D(z^{-1})$ [3,4]

$$(1 - D(z^{-1}))\varepsilon(z^{-1}) = 0, t = nT \geq (\deg(1 - D(z^{-1})))T$$

Svrha principa apsorpcije je da uključi model poremećaja u upravljačku strukturu u cilju potiskivanja uticaja poremećaja na stacionarnu vrednost upravljanje promenljive. Pri dovoljno potpunoj apriornoj informaciji o poremećaju, polinom predviđanja $D(z^{-1})$ se određuje jednostavno, polazeći od modela poremećaja u vremenskom domenu [3,4]. U Tsyplkinovim radovima najčešće je korišćen sledeći polinom predviđanja

$$D(z^{-1}) = 2 - z^{-1} \quad (9)$$

koji se odnosi na klasu linearnih poremećaja, a njegova implementacija u IMPACT strukturi daje efikasne rezultate i za različite klase sporopromenljivih poremećaja. Manja perioda odabiranja u većoj meri opravdava linearnu aproksimaciju proizvoljnog signala na ograničenom vremenskom opsegu [1]. Prema standardnom postupku sinteze [3], za objekte minimalne faze, podrazumeva se da je

$$R(z^{-1}) = P_u^o(z^{-1}) \quad (10)$$

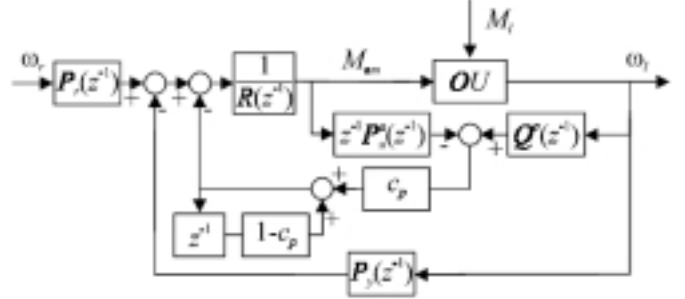
Spoljašnja kontura određuje dinamičko ponašanje nominalnog sistema i projektuje se na osnovu specificirane funkcije spregnutog prenosa sistema $G_{de}(z^{-1})$. Izborom veljene funkcije diskretnog prenosa sistema $G_{de}(z^{-1})$ i rešavanjem jednačine [2]

$$G_{de}(z^{-1}) = \frac{z^{-1}P_r(z^{-1})}{Q^o(z^{-1}) + z^{-1}P_y(z^{-1})} \quad (11)$$

dolazi se do polinoma upravljačke strukture $P_y(z^{-1})$ i $P_r(z^{-1})$, time je proces parametarske sinteze završen. Međutim, kako je to zapisano u [2], unutrašnji model upravljačke strukture povećava osjetljivost sistema na sum kvantovanja, posebno u slučaju brzinskog servomehanizma. Zato je u [2] predložena modifikacija strukture koja uključuje opserver radi estimacije signala povratne sprege. Primenjen je opserver visokog kvaliteta koji i pri dejstvu poremećaja korektno procenjuje koordinate stanja i utiče na potiskivanje efekata sum kvantovanja u sistemu. Polinom predviđanja ostaje nezavistan deo strukture, i njegova sinteza teže jednostavno u skladu sa potrebama apsorpcije proizvoljne klase poremećaja. Ali, u [5] je predloženo mnogo jednostavnije i ne manje efikasno rešenje. Uspostavljena je jasna veza između polinoma predviđanja i polinomnih signala i Newtonovog prediktora [8]. Predloženo je korišćenje polinomnih

prediktivnih filtera [8] umesto klasičnih polinoma predviđanja. Ispitana je efikasnost polinomnog LSN (Linear Smoothed Newton) prediktora u ulozi polinoma predviđanja IMPACT i pokazano je kako se promenom jednog podeljivog parametra LSN prediktora može jednostavno uticati na dinamičke osobine sistema, kao i na potiskivanje sum kvantovanja, i na oblast robustne stabilnosti sistema [5].

U cilju efikasnog rešavanja našeg problema (Sl. 1), u ovom radu predlažemo strukturu koja umesto polinoma predviđanja sadrži najjednostavniji RLSN (Recursive Linear Smoothed Newton) prediktor (Sl. 4). Parametar $c_p < 1$ omogućava da RLSN prediktor ima amplitudno frekvencijsku karakteristiku NF filtra, dok je u [1] je pokazano kako promenom ovog parametra (c_p) može uticati na profirenje oblasti robustne stabilnosti u području srednjih učestanosti.



Sl. 4. Modifikovana IMPACT struktura digitalnog brzinskog servomehanizma

Pri sintezi IMPACT strukture polazi se od sledećeg modela objekta upravljanja

$$W_{ou}(s) = \frac{1}{Js} = \frac{1}{(J_m + J_l)s}, W_{ou}(z^{-1}) = \frac{T}{J_m + J_l} \frac{z^{-1}}{1 - z^{-1}} \quad (12)$$

mada elastično sprezanje (Sl. 1) pri analizi rada strukture neće biti zanemareno (efekti elastičnog sprezanja se manifestuju kao komponenta generalisanog poremećaja). Izbor perioda odabiranja je spregnut sa periodom torzionih oscilacija, te neka je

$$T = \frac{T_{osc}}{8} = \frac{\pi}{4\omega_p \sqrt{1 - \xi_p^2}} \quad (13)$$

Struktura unutrašnjeg modela poremećaja je prilagođena apsorpciji efekata odskočne klase poremećaja (Sl. 1). Pošto je izabrana veoma mala perioda odabiranja, ovakav unutrašnji model poremećaja je sasvim adekvatno rešenje za tenu klasu poremećaja. Podešavanjem parametra c_p jednostavno se utiče na efikasnost apsorpcije efekata poremećaja, ili na oblasti robustne stabilnosti i potiskivanje torzionih oscilacija, kao što će to narednim simulacijama biti pokazano.

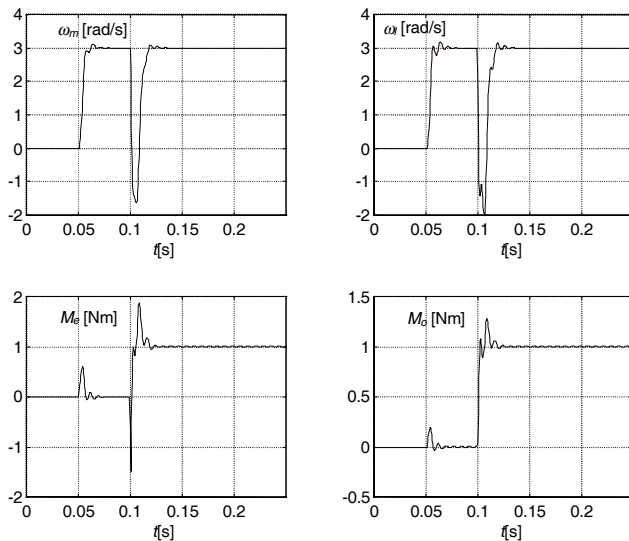
4. ILUSTRATIVNI PRIMER

Efikasnost predložene strukture na Sl. 4 biće ilustrovana simulacijom, pod istim uslovima pod kojima su izvršene eksperimentalne probe u [6]. U [6] su dva identična motora povezani preko elastične slike osovine. Motori su nezavisno upravljeni i koriste se kao motor i opterećenje. Na svakom od njih, postavljen je elektromagnetski rizolver. Izdvajamo sledeće bitne podatke: $J_m=0.000620\text{kgm}^2$, $J_l=0.000220\text{kgm}^2$, $c_s = 350\text{Nm/rad}$, $b_v = 0.004\text{Nms/rad}$. Zahteva se sinteza upravljačkog algoritma koji će obezbediti da odskočni kontinualni odziv sistema bude bez greške u stacionarnom stanju i da ga karakteriše koeficijent relativnog prigušenja $\zeta=0.7$ i nepričena prirodna učestanost $\omega_n=400\text{rad/s}$. Sledi polinomi upravljačke strukture

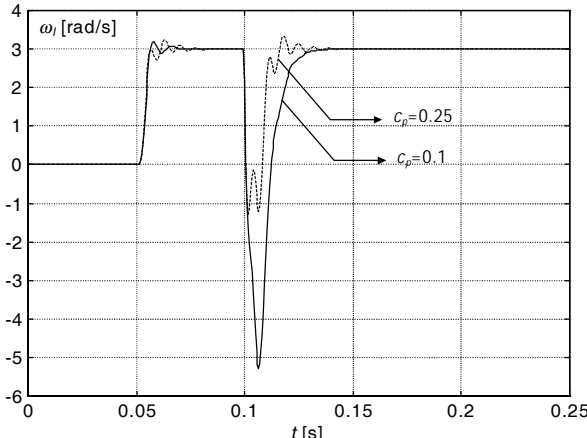
$$R(z^{-1}) = P_u^o(z^{-1}) = 0.636881, Q^o(z^{-1}) = 1 - z^{-1}$$

$$P_r(z^{-1}) = 0.03941938 z^{-1}, P_y(z^{-1}) = -0.701702946 + 0.741122325 z^{-1}$$

Dava~ je sme{ten na optere}enom vratilu (kao na Sl. 4) i u slu~aju izabranog parametra $c_p=0.2$ rezultat simulacije je prikazan na Sl. 5, dok je na Sl. 6 ilustrovan uticaj varijacije parametra c_p na performanse sistema. Ovi rezultati simulacije su dobijeni kori{jenjem programskog modula SIMULINK, koji je sastavni deo programske pakete MATLAB. Pri simulaciji su kori{ene iste amplitude ulaznih signala, kao u [6] (konkretno, $\omega_i(t)=3 \cdot h(t-0.05)$ [rad/s], $M_i(t)=1 \cdot h(t-0.1)$ [Nm]). Naravno, simulacije su izvr{ene sa objektom upravljanja -ija je struktura definisana na Sl. 1. Rezultati prikazani na Sl. 5 su neznatno bolji od analognih rezultata (simulacionih i eksperimentalnih) u [6].



Sl. 5. Ilustracija rada strukture na Sl. 4 ($c_p=0.2$, $\omega_n=400$ rad/s, $\zeta=0.7$)



Sl. 6. Ugaona brzina na optere}enom vratilu - uticaj varijacije parametra c_p

5. ZAKLJU^KAK

Predlo`en je modifikovani koncept IMPACT strukture brzinskog servomehanizma visokih performansi u cilju potiskivanja torzionih oscilacija u sistem u koju mogu nastati kao posledica mehani~ke rezonance usled elasti~ne sprege motor-optere}enje. U ulozi unutra{njenog modela poreme}aja koristi se najjednostavniji RLSN prediktor sa jednim pode{jivim parametrom (c_p). Rezultati simulacije jasno pokazuju prednosti izlo`enog pristupa u pore|enu sa prethodnim re{njima istog problema. Prednosti su u

jednostavnosti pode{avanja prametara strukture i realizaciji ~eljenih performansi.

LITERATURA

- [1] M.S. Matijevi}, "Razvoj novih struktura digitalno upravljanih elektromotornih pogona i industrijskih procesa", doktorska disertacija, Ma{inski fakultet u Kragujevcu, 2001.
- [2] M.S. Matijevi}, M.R. Stoji}, "Sinteza sistema digitalnog upravljanja brzinskim servomehanizmom sa unutra{njenim modelom: Potiskivanje {uma kvantovanja", *Zbornik XLII Konf. ETRAN-a*, s. 291-294., Vrnja~ka Banja, 1998.
- [3] Я.З. Цыпкин, "Синтез робастно оптимальных систем управления объектами в условиях ограниченной неопределенности", *Автом. и Телемех.*, №9, с. 139-159, 1992.
- [4] Ya.Z. Tsyplkin and U. Holmberg, "Robust stochastic control using the internal model principle and internal model control", *Int. J. Control.*, vol. 61, №4, P 809-822, 1995.
- [5] M. S. Matijevi{, M. R. Stoji{ and M. Stefanovi{, "Application of internal models in the design of digitally controlled electrical drives", *Proc. of 11th Mediterranean Conf. on Control and Automation MED'03*, Rhodes, June 17-20, 2003, Greece
- [6] S.N. Vukosavi} and M.R. Stoji}, "Suppression of torsional oscillations in a high-performance speed servo drive", *IEEE Trans. on Industrial Electronics*, vol. 45, №1, pp. 108-117, 1998.
- [7] M.R. Stoji} and S.N. Vukosavi}, "Algorithm for supressing mechanical resonance in high performance servo drive", *Zbornik XLI Konf. ETRAN-a*, Zlatibor, 1997.
- [8] S. Välihiita, S.J. Ovaska and Olli Vainio, "Polynomial predictive filtering in control instrumentation: A review", *IEEE Trans. on Industrial Electronics*, vol. 46, №5, pp. 876-888, 1999.
- [9] M.S. Matijevi}, M.R. Stoji}, "Novi prilazi parametarske sinteze IMPACT strukture", *Zbornik XLVI Konf. ETRAN-a*, Tesli}, 2002.

Abstract – The paper describes IMPACT structure (Internal Model Principle and Control Together) in digitally controlled electrical drives. The IMPACT structure suitable for suppressing of torsional oscillations in servo system with flexible coupling has been presented. The approach, proposed in this paper, gives the better solutions for the problem of mechanical resonance in modern servo drive than previous ones. The presented structure is simple with small number of adjustable parameters that could be easily set to achieve the desired robust, filtering, and dynamic properties of the system.

IMPACT STRUCTURE IN HIGH PERFORMANCE SERVO DRIVES – SUPPRESSION OF TORSIONAL OSCILLATIONS

Milan S. Matijevi}, Mili} R. Stoji} and Slobodan N. Vukosavi{